

ЛИТЕРАТУРА

1. Киселев О. М., Рапопорт Э. Ф. О струйном обтекании упругой пластины.— Изв. АН СССР. МЖГ, 1976, № 4, с. 35.
2. Киселев О. М., Рапопорт Э. Ф. О струйном обтекании упругой оболочки.— Изв. АН СССР. МЖГ, 1977, № 2, с. 24.
3. Тимошенко С. П., Войновский-Кригер С. Пластинки и оболочки. М.: Физматгиз, 1963, 635 с.

Казань

Поступила в редакцию
11.II.1980

УДК 532.527.013.4

К УСТОЙЧИВОСТИ ВСТРЕЧНЫХ ПОТОКОВ

АРЫШЕВ Ю. А., ГОЛОВИН В. А., ЕРШИН Ш. А.

При взаимодействии встречных потоков область критической точки характеризуется существенным искривлением линий тока. Выпуклость последних обращена в сторону особой точки, в направлении к которой происходит уменьшение модуля вектора скорости. Подобная ситуация типична для тейлор-гертлеровской неустойчивости и поэтому правомерно ожидать проявления ее в зоне встречи потоков. Отметим, что свободные течения жидкости и газа с аналогичным характером искривления линий тока распространены достаточно широко. В частности, это имеет место в некоторых случаях, так называемых антипараллельных движений. В качестве примера на фиг. 1 показаны две возможные схемы встречной формы взаимодействия: встречные (фиг. 1, а) и антипараллельные потоки (фиг. 1, б). Пунктиром показана начальная ориентация «пробного» вихря.

Несмотря на значительное количество работ, посвященных вопросам исследования различных случаев вторичных движений, возбуждаемых в потоках с сильным искривлением линии тока [1-4], задача устойчивости встречных потоков, по-видимому, не рассматривалась. Сложность изучения состоит в существенной неоднородности течения и связана с необходимостью учета по крайней мере двух составляющих вектора скорости основного движения. При этом анализ гидродинамической устойчивости проводится по отношению к возмущениям, зависящим от трех пространственных координат и времени.

В настоящей работе предпринята попытка исследования устойчивости течения в зоне взаимодействия встречных потоков в рамках линейной теории. Чтобы облегчить задачу анализа, авторы ограничились рассмотрением случая идеальной жидкости и условием потенциальности основного течения.

1. Задача гидродинамической устойчивости формулируется следующим образом. На основное потенциальное течение с вектором скорости $\mathbf{V} = \{V_x, V_y, V_z\}$ ($\Omega = \text{rot } \mathbf{V} = 0$) и давлением P_0 накладывается нестационарное пространственное вихревое поле возмущений ($\omega = \text{rot } \mathbf{v} \neq 0$, характеризуемое вектором скорости $\mathbf{v} = \{v_x, v_y, v_z\}$ и давлением p). Требуется проследить дальнейшую временную эволюцию наложенного возмущения. Математическая модель сформулированной задачи представляет собой следующую систему уравнений возмущенного движения:

$$(1.1) \quad \frac{\partial \omega}{\partial t} = \nabla \times (\mathbf{V} \times \omega)$$

$$\nabla \mathbf{v} = 0 \quad \omega = \nabla \times \mathbf{v}$$

Соотношение (1) по аналогии с известным уравнением Гельмгольца может быть названо уравнением динамической возможности возмущающего движения. Если основное течение плоское, то ввиду цикличности переменных z и t и зависимости коэффициентов $V_x, V_y, V_z \equiv 0$ в (1.1) только от x и y оно допускает решения

$$(1.2) \quad \omega_\alpha = \omega_i(x, y) f_i(z) \exp(\sigma t) \quad (\alpha = x, y, z) \quad (i = 1, 2, 3)$$

Здесь ω_i, σ — в общем случае комплексные амплитуды и комплексный параметр. Подставляя (1.2) в (1.1), легко установить, что

$$(1.3) \quad f_1(z) = f_2(z) = \frac{d}{dz} [f_3(z)]$$

Конкретный вид этих функций определяется граничными условиями исследуемой краевой задачи.

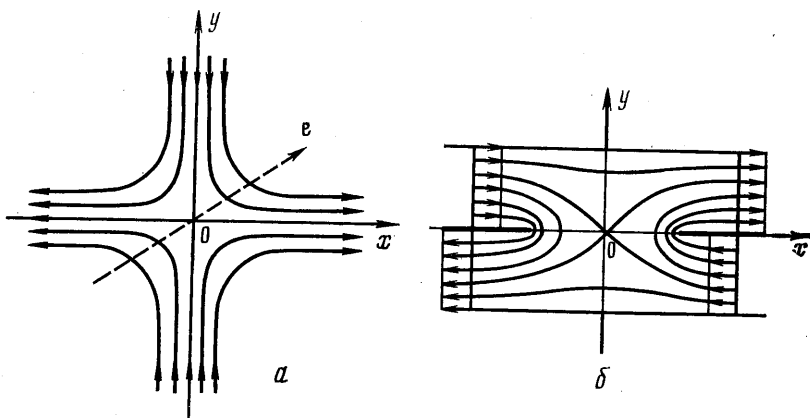
Ниже в качестве основного течения рассматривается кинематика в окрестности критической точки плоских встречных потоков, описываемая соотношениями

$$(1.4) \quad \psi = axy, \quad V_x = ax, \quad V_y = -ay, \quad a > 0$$

Тогда с учетом (1.3) для определения неизвестных функций $\omega_i(x, y)$ ($i=1, 2, 3$) имеем следующую систему уравнений:

$$(1.5) \quad \begin{aligned} y \frac{\partial \omega_1}{\partial y} + x \left(\frac{\partial \omega_2}{\partial y} + \omega_3 \right) &= \frac{\sigma - a}{a} \omega_1, & x \frac{\partial \omega_2}{\partial x} + y \left(\frac{\partial \omega_1}{\partial x} + \omega_3 \right) &= -\frac{\sigma + a}{a} \omega_2 \\ x \frac{\partial \omega_3}{\partial x} - y \frac{\partial \omega_3}{\partial y} &= -\frac{\sigma}{a} \omega_3 \end{aligned}$$

Тем самым задача об устойчивости течения (1.4) свелась к амплитудной задаче на собственные значения параметра σ системы (1.5) при соответствующих гранич-



Фиг. 1

ных условиях. Интегрирование этой системы методом Фурье приводит к соотношениям

$$\omega_i = A_i x^{\lambda + 1/2(2-i)(3-i)} y^{\lambda + \sigma/a + (i-1)(3-i)}$$

$$(\lambda + 1)A_1 + (\lambda + \sigma/a + 1)A_2 + A_3 = 0$$

где A_i ($i=1, 2, 3$) и λ связаны между собой условием совместности.

Неопределенность в задании граничных условий для ω_x , ω_y , ω_z в области свободного взаимодействия не позволяет провести в полной мере исследование задачи на собственные значения системы (1.5). Случай $\omega_i \equiv 0$, являющийся тривиальным результатом, следует опустить. В данной ситуации представляется целесообразным следующий подход к решению рассматриваемой задачи. Поскольку основной вопрос анализа заключается в исследовании временной эволюции возмущений, провоцирующим возмущением вторичного движения, то в дальнейшем ограничимся рассмотрением возмущений, которые представляют собой стоячие волны — ячеистые вихревые структуры. С физической точки зрения это означает внесение в основное потенциальное течение элементарных «пробных» вихрей. При этом появляется возможность задания и некоторых граничных условий. Такой подход предопределяет доминирующую роль монотонной моды неустойчивости и вещественность декремента σ . Так как среда идеальная, то речь идет лишь об определении знака коэффициента σ . Если среди всевозможных возмущений найдется хотя бы одно, отвечающее случаю $\sigma > 0$, то основное течение неустойчиво. Исходя из этого, исследуем окрестность точки торможения потоков по отношению к некоторым частным видам возмущающего движения.

а) Возмущения в виде стоячих волн (ячеистые вихри) с амплитудными функциями ω_i ($i=1, 2, 3$), не зависящими от пространственных координат.

Пусть $\cos \beta_i$ ($i=1, 2, 3$) — направляющие косинусы произвольного вектора e , вдоль которого ориентированы ячеистые вихри (см. Фиг. 1), т. е. $\omega_{\alpha} = \omega_0 \cos \beta_i(z) \exp(\sigma t)$ ($\alpha=x, y, z$) ($i=1, 2, 3$), где ω_0 — постоянная достаточно ма-

лая величина (в рамках справедливости линейной теории). Для удовлетворения системы уравнений (1.5) следует принять: $\cos \beta_1 = 1$, $\cos \beta_2 = \cos \beta_3 = 0$, т. е. $\beta_1 = 0$, $\beta_2 = \beta_3 = \pi/2$ и $\sigma = a > 0$. Это означает, что помещенный под произвольным углом пробный вихрь разворачивается потоками и ориентируется вдоль линии их раздела (ось x). Основное течение (1.4) неустойчиво по отношению к этим вихревым структурам. Функция $f_1(z)$ может быть определена как

$$(1.6) \quad f_1(z) = \cos \frac{2\pi}{l} z \quad \left(f_1(z) = \sin \frac{2\pi}{l} z \right)$$

Здесь l — длина волны возмущения в направлении оси z . Выражение (1.6) позволяет получить вихри, симметричные относительно оси x с чередующимися вдоль z противоположными направлениями вращения.

б) Возмущающее движение такое, что вектор мгновенной угловой скорости ω коллинеарен с вектором скорости v .

На основании предыдущего анализа можно для возмущающих структур задать следующие условия симметрии:

$$(1.7) \quad \omega_z = 0 \quad (y=0), \quad \omega_y = 0 \quad (z=0)$$

Третье уравнение системы (1.5) является независимым. Интегрируя его, получим общее решение

$$F(I_1, I_2) = 0, \quad I_1 = xy, \quad I_2 = \omega_3 y^{-\sigma/a}$$

где I_1 и I_2 — два первых независимых интеграла соответствующей системы обыкновенных дифференциальных уравнений, F — любая дифференцируемая функция. Построим соответствующее решение задачи Коши. Полагая в интегралах I_1 и I_2 $y \rightarrow 0$, получим $I_1 = x \lim_{\xi \rightarrow 0} (\xi)$, $\omega_3 = I_2 \lim_{\xi \rightarrow 0} (\xi)^{\sigma/a}$. Решение задачи Коши с граничными

условиями (1.7) запишется в виде

$$\omega_3(x, y) y^{-\sigma/a} \lim_{\xi \rightarrow 0} (\xi)^{\sigma/a} = 0$$

Но так как второй сомножитель не равен тождественно нулю и ищется нетривиальное решение, то с необходимостью следует, что $\lim_{\xi \rightarrow 0} (\xi)^{\sigma/a} = 0$. Значит $\sigma > 0$. Следовательно, рассматриваемые возмущения с течением времени растут и движение по отношению к ним носит неустойчивый характер.

в) Изучается временная эволюция наложенного на течение (1.4) возмущающего движения ячеек вихревой структуры, для которого функции $\omega_i(x, y)$ ($i=2, 3$) являются монотонно убывающими вдоль оси x :

$$(1.8) \quad \omega_i(x, y) > 0 \quad (<0), \quad \frac{\partial \omega_i}{\partial x} < 0 \quad (>0)$$

Это означает, что «пробные» вихри, возмущающие основное течение, ориентированы вдоль оси x , причем при возрастании x составляющие вектора угловой скорости ω_y, ω_z монотонно стремятся к нулю. Последнее связано с выравниванием линий тока основного течения вдали от критической точки.

По аналогии с предыдущим общее решение третьего уравнения системы (1.5) можно определить формулой

$$(1.9) \quad F(J_1, J_2) = 0, \quad J_1 = xy, \quad J_2 = \omega_3 x^{\sigma/a}$$

где J_1, J_2 — два первых независимых интеграла (якобиан от J_1 и J_2 по переменным x, y не равен тождественно нулю). Разрешая (1.9) относительно J_2 , получим решение в явном виде

$$\omega_3(x, y) = x^{-\sigma/a} F_1(J_1)$$

Легко убедиться, что построить функцию $F_1(J_1)$, удовлетворяющую условию (1.8), всегда возможно. Действительно, пусть при $x=x_1$ $\omega_3 = S_1(y)$, а при $x=x_2$ $\omega_3 = S_2(y)$, причем $x_2 > x_1 > 0$. Тогда, согласно условию (12), должно быть $|S_2(y)| < |S_1(y)|$.

Найдем соответствующее решение задачи Коши для неоднородного линейного уравнения в частных производных. Применяя метод работы [5] получим, что в первом случае искомого решение определяется соотношением

$$\omega_3(x, y) = S_1 \left(\frac{x}{x_1} y \right) x^{-\sigma/a} x_1^{\sigma/a}$$

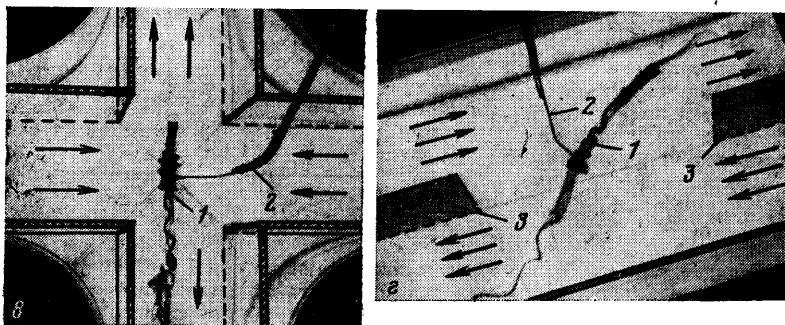
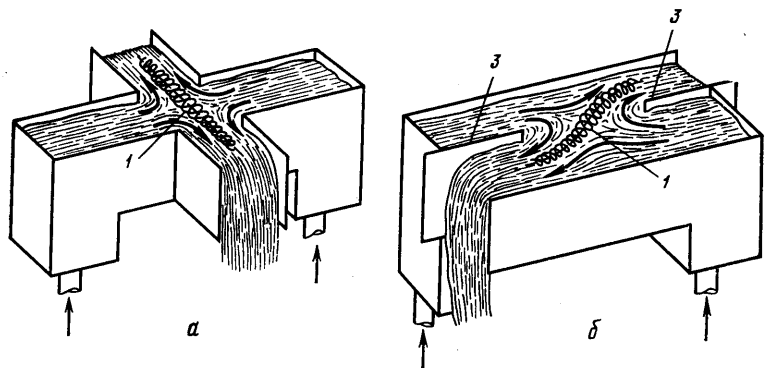
Во втором случае, когда при $x=x_2$ $\omega_3=S_2(y)$, по аналогии с предыдущим имеем

$$\omega_3(x, y) = S_2 \left(\frac{x}{x_2} y \right) x^{-\sigma/a} x_2^{\sigma/a}$$

Следовательно, должно иметь место равенство

$$S_2 \left(\frac{x}{x_2} y \right) / S_1 \left(\frac{x}{x_1} y \right) = \left(\frac{x_1}{x_2} \right)^{\sigma/a}$$

В силу того что $\omega_3(x, y)$, а значит, S_1, S_2 — функции монотонные, условие $|S_2| < |S_1|$ позволяет установить $(x_1/x_2)^{\sigma/a} < 1$. Поскольку $x_2 > x_1$, немедленно следует,



Фиг. 2

что $\sigma > 0$. Значит, возмущающие вихревые структуры (1.8) с течением времени нарастают, что приводит к индуцированию вторичных движений.

2. Проведенный анализ гидродинамической устойчивости в окрестности точки торможения встречных потоков идеальной жидкости показал абсолютную их неустойчивость по отношению к возмущениям вида стоячих волн, расположенных в плоскости раздела потоков. Это позволяет думать, что вообще для встречной формы взаимодействия потоков присуще возбуждение вторичного вихревого движения, ось которого совпадает с линией раздела потоков.

Течения, представленные на фиг. 1, нетрудно реализовать. С этой целью были созданы две экспериментальные установки типа гидравлических лотков, принципиальная схема которых изображена на фиг. 2, а, б, где цифрами обозначено: 1 — вторичные структурные вихреобразования, 2 — трубка, подводящая окрашенную жидкость для визуализации картины течения, 3 — передвигающиеся, разделяющие потоки жидкости, пластины. Опыт показал, что в зоне взаимодействия потоков действительно возникают свободные структурные вихреобразования. Последние располагаются в плоскости раздела взаимодействующих потоков, как это схематически показано на фиг. 2, а, б. Фотографии визуально наблюдаемых вихрей приведены ниже.

ЛИТЕРАТУРА

1. Görtler H. Dreidimensionales zur Stabilitätstheorie laminarer Grenzschichten.— ZAMM 35, 326–364, 1955, Bd 35, H. 9/10.
2. Юдович В. И. Вторичные течения и неустойчивость жидкости между вращающимися цилиндрами.— ПММ, 1966, т. 30, вып. 4.
3. Степанов Г. Ю. Гидродинамика решеток турбомашин. М.: Физматгиз, 1962.
4. Линь Цзяцзяо. Теория гидродинамической устойчивости. М.: Изд-во иностр. лит., 1958.
5. Маргеев Н. М. Методы интегрирования обыкновенных дифференциальных уравнений. Минск: Вишешная школа, 1974.

Алма-Ата

Поступила в редакцию
29.1.1980

УДК 532.529

ТОНКИЙ ПРОФИЛЬ В ПОТОКЕ ДИСПЕРСНОЙ СМЕСИ

ОСИЩОВ А. Н.

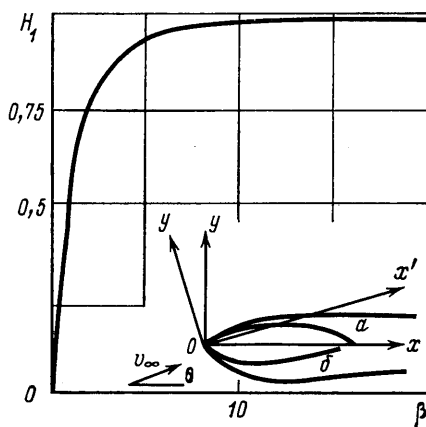
В линейной постановке рассматривается плоская задача стационарного обтекания тонкого профиля однородным потоком двухфазной среды типа газ — твердые частицы при малой объемной концентрации твердой фазы. Исследованы режимы обтекания с малой дозвуковой скоростью в пренебрежении сжимаемостью несущей фазы и со сверхзвуковой скоростью. Цель работы — определение в рамках модели взаимонепроницающих континуумов [1, 2] аэродинамических характеристик тонких профилей, обтекаемых под малыми углами атаки.

Линейной теории стационарных сверхзвуковых течений посвящены работы [2—4]. Наиболее полное исследование содержится в [4], где на основе линеаризации уравнений типа [2] получено уравнение в частных производных относительно потенциала скоростей возмущенного движения несущей фазы, справедливое при обтекании плоских и осесимметричных тонких тел. С помощью преобразования Лапласа получено общее решение этого уравнения, рассмотрены конкретные примеры, в частности обтекание тонкого клина.

Ниже доказана потенциальность полей скоростей обеих фаз в однородном на бесконечности линеаризованном невязком двухфазном потоке. Получены выражения для сил и моментов, действующих на тонкие плоские тела в двухфазном потоке. Подробно исследована задача обтекания пластины под малым углом атаки. Показано, что существует область изменения безразмерных определяющих параметров задачи, при которых суммарный момент сил, приложенных к пластине, действует в сторону уменьшения угла атаки.

1. Постановка задачи. Тонкий профиль обтекается однородным на бесконечности потоком двухфазной среды под углом атаки θ . Несущая фаза — совершенный газ с постоянными теплоемкостями, дисперсная фаза — твердые сферические частицы одинакового радиуса σ . Физическая плотность вещества частиц много больше плотности газа $\rho_s \gg \rho^0$. Броуновское движение частиц и их влияние друг на друга отсутствуют. В качестве силы взаимодействия между фазами принята сила Стокса. Теплопередача между частицами и газом определяется условием равенства числа Нуссельта единице. Эффектами, связанными с наличием пограничного слоя вблизи поверхности обтекаемого тела, пренебрегается.

Направим ось x декартовой системы координат x, y с началом в передней кромке профиля по его средней хорде, а ось x' системы x', y' — параллельно вектору скорости невозмущенного потока. Картина течения изображена на фиг. 1; a — область чистого газа без частиц, b — область частиц, отраженных от поверхности тела. Система уравнений [2], описывающих движение двухфазной среды вне областей a



Фиг. 1